

GERAÇÃO DE SEGUNDO HARMÔNICO EM KDP

Niklaus Ursus Wetter

Div. MEO

IPEN - CNEN/SP

Caixa Postal 11049

São Paulo - S.P.

Curso ministrado na VI Escola de Verão Jorge André Swieca no Instituto de Física da UNICAMP Campinas - S.P.

- LITERATURA:
- A. YARIV, "Optical Electronics", Saunders College (1991)
 - A. YARIV, "Quantum Electronics", John Wiley & Sons (1989)
 - Y. R. SHEN, "The Principles of Nonlinear Optics", John Wiley & Sons (1984)

1. A ORIGEM FÍSICA DA POLARIZAÇÃO NÃO LINEAR

A polarização ótica em cristais dielétricos se deve aos elétrons da banda de valência que são deslocados devido à incidência de um campo ótico. Sendo $N(t)$ a densidade de elétrons, a polarização é dada por:

$$p(t) = -Nex(t) \quad (1)$$

A função da energia potencial do elétron devido ao campo cristalino pode ser escrita, utilizando uma representação unidimensional, como:

$$V(x) = \frac{m\omega^2}{2}x^2 + \frac{m}{3}Dx^3 + \frac{m}{4}Bx^4 \dots \quad (2)$$

Em cristais simétricos, onde $V(x) = V(-x)$, o coeficiente anarmônico D é nulo. Para relacionar a polarização ao campo indutor $E^{(\omega)}\cos\omega t$ utilizaremos a força restauradora do campo cristalino dada por $F = -dV/dx$. A equação de movimento é então dada por:

$$\frac{d^2x(t)}{dt^2} + \sigma \frac{dx(t)}{dt} + \omega^2 x(t) + Dx^2(t) = -\frac{eE^{(\omega)}}{2m}(e^{i\omega t} + e^{-i\omega t}) \quad (3)$$

onde incluímos as perdas devido a uma força de atrito de $-m\sigma x$. O termo Dx^2 requer uma componente oscilando em 2ω . Portanto, a geração de segundo harmônico (oscilação em 2ω) é possível somente em cristais assimétricos (onde D não é nulo). Assumimos, então, uma solução para $x(t)$ na forma de:

$$x(t) = \frac{1}{2} (q_1 e^{i\omega t} + q_2 e^{2i\omega t} + c.c.) \quad (4)$$

Substituindo esta expressão na equação (3) e igualando primeiramente os coeficientes de $e^{i\omega t}$, obtém-se q_1 :

$$q_1 = -\frac{eE^{(\omega)}}{m} \frac{1}{(\omega_0^2 - \omega^2) + i\omega\sigma} \quad (5)$$

onde assumimos que $|Dq_2| \ll \left[(\omega_0^2 - \omega^2)^2 + \omega^2\sigma^2 \right]^{1/2}$. A polarização linear em ω se relaciona ao deslocamento eletrônico em ω através de:

$$p^{(\omega)}(t) = -\frac{Ne}{2} (q_1 e^{i\omega t} + c.c.) \equiv \frac{\epsilon_0}{2} [\chi(\omega) E^{(\omega)} e^{i\omega t} + c.c.] \quad (6)$$

onde $\chi(\omega)$ é a susceptibilidade linear.

Para encontrar a polarização não linear de segunda ordem é necessário de calcular a amplitude, q_2 , do movimento eletrônico em 2ω . Substituindo expressão (4) na equação (3) e igualando os coeficientes de $e^{2i\omega t}$, obtém-se:

$$q_2 = \frac{-De^2(E^{(\omega)})^2}{2m^2 [(\omega_0^2 - \omega^2) + i\omega\sigma]^2 (\omega_0^2 - 4\omega^2 + 2i\omega\sigma)} \quad (7)$$

2. PROPAGAÇÃO DE ONDA NO MEIO NÃO LINEAR

Para simplificar a seguinte análise, assumimos que apenas um coeficiente d_{ijk} na expressão (11) não seja nulo. Deste modo o campo ótico consiste de dois feixes:

$$E(t) = \operatorname{Re} [E^{(\omega_1)} e^{i\omega_1 t} + E^{(\omega_2)} e^{i\omega_2 t}] \quad (12)$$

e, portanto, as possíveis polarizações induzidas apresentam a soma e a diferença das frequências ω_1 e ω_2 :

$$p_i^{(\omega_1+\omega_2)} = \operatorname{Re} [d_{ijk}^{(\omega=\omega_1+\omega_2)} E_j^{(\omega_1)} E_k^{(\omega_2)} e^{i(\omega_1+\omega_2)t}] \quad (13)$$

$$p_i^{(\omega_1-\omega_2)} = \operatorname{Re} [d_{ijk}^{(\omega=\omega_1-\omega_2)} E_j^{(\omega_1)} (E_k^{(\omega_2)})^* e^{i(\omega_1-\omega_2)t}] \quad (14)$$

Utilizaremos agora as equações de Maxwell para derivar as equações de propagação:

$$\nabla \times h = i + \frac{\partial d}{\partial t} \quad (15)$$

$$\nabla \times e = -\mu \frac{\partial h}{\partial t} \quad (16)$$

$$d = \epsilon_0 e + p \quad (17)$$

$$i = \sigma e \quad (18)$$

onde σ é a condutividade. Separando p na parte linear e na parte não linear temos:

$$p = \epsilon_0 \chi_e e + p_{NL} \quad (19)$$

Utilizando-se $\epsilon \equiv \epsilon_0 (1 + \chi_e)$ e a equação (15), obtém-se:

$$\nabla \times h = \sigma e + \epsilon \frac{\partial e}{\partial t} + \frac{\partial p_{NL}}{\partial t} \quad (20)$$

A polarização não linear em 2ω é dada por:

$$p^{(2\omega)}(t) = -\frac{Ne}{2} (q_2 e^{i\omega t} + \text{c.c.}) \equiv \frac{1}{2} \left(d^{(2\omega)} [E^{(\omega)}]^2 e^{2i\omega t} + \text{c.c.} \right) \quad (8)$$

Onde a segunda equação define o coeficiente ótico não linear $d^{(2\omega)}$. Através das equações (5) a (8) podemos relacionar o coeficiente não linear à susceptibilidade linear e ao coeficiente anharmônico D:

$$d^{(2\omega)} = \frac{mD [\chi^{(\omega)}]^2 \chi^{(2\omega)} \varepsilon_0^3}{2N^2 e^3} \quad (9)$$

Utilizando a amplitude complexa de polarização, $P^{(2\omega)}$, tem-se:

$$p^{(2\omega)}(t) = \frac{1}{2} [P^{(2\omega)} e^{2i\omega t} + \text{c.c.}]$$

e,

$$P^{(2\omega)} = d^{(2\omega)} E^{(\omega)} E^{(\omega)} \quad (10)$$

Agora precisamos abandonar a representação uni-dimensional e considerar que a polarização de segundo harmônico, numa dada direção, depende das possíveis combinações dos campos elétricos E_x , E_y e E_z . Portanto, ela está relacionada a estes campos através de um tensor de terceira ordem d_{ijk} :

$$P_i^{(2\omega)} = \sum_{j,k=x,y,z} d_{ijk}^{(2\omega)} E_j^{(\omega)} E_k^{(\omega)} \quad (11)$$

Considerações sobre a simetria do cristal fazem com que alguns dos coeficientes não lineares desapareçam ou, como no caso dos cristais centro simétricos, são todos nulos e, portanto, não geram segundo harmônico (ver tabela 1). Como exemplo, verifica-se pelas tabelas, que um feixe incidindo ao longo do eixo z ($E_z^{(\omega)} = 0$) de um cristal de KH_2PO_4 (KDP) gera uma polarização de

$$P_z^{(2\omega)} = d_{zxy}^{(2\omega)} E_x^{(\omega)} E_y^{(\omega)} \quad (\text{Utiliza-se a notação matricial. Exemplo: } d_{36} = d_{zxy}).$$

Aplicando-se o rotacional nos dois lados de (16) e utilizando-se a identidade $\nabla \times \nabla \times \mathbf{e} = \nabla \nabla \cdot \mathbf{e} - \nabla^2 \mathbf{e}$, onde $\nabla \cdot \mathbf{e} = 0$, tem-se:

$$\nabla^2 \mathbf{e} = \mu\sigma \frac{\partial \mathbf{e}}{\partial t} + \mu\epsilon \frac{\partial^2 \mathbf{e}}{\partial t^2} + \mu \frac{\partial^2 \mathbf{p}_{NL}}{\partial t^2} \quad (21)$$

Para simplificar o problema, escolhemos a direção de propagação ao longo do eixo z e limitamos as frequências em ω_1 , ω_2 e ω_3 de acordo com

$$E^{(\omega_j)}(z, t) = \frac{1}{2} \left[E_j(z) e^{i(\omega_j t - k_j z)} + c.c. \right], \quad \text{onde } j=1,2,3 \quad (22)$$

O campo total E é a soma dos três campos da equação (22). Na sequência, introduz-se E na equação (21) e, a seguir, iguala-se os termos com a mesma frequência ω_1 . Resolveremos para ω_1 .

Conforme as equações (13) e (14), a polarização não linear oscila ou com a soma de duas frequências (das três ω_1 , ω_2 , ω_3) ou com a diferença delas. Portanto, a única maneira de obter uma contribuição de P_{NL} na equação de onda dos termos em ω_1 é quando

$$\omega_1 = \omega_3 - \omega_2 \quad (23)$$

Utilizando (23), (14) e (21) obtemos

$$\nabla^2 E^{(\omega_1)} = \mu\sigma \frac{\partial E^{(\omega_1)}}{\partial t} + \mu\epsilon_1 \frac{\partial^2 E^{(\omega_1)}}{\partial t^2} + \mu d \frac{\partial^2}{\partial t^2} \left[\frac{E_3(z) E_2^*(z)}{2} e^{i[(\omega_3 - \omega_2)t - (k_3 - k_2)z]} + c.c. \right] \quad (24)$$

Substituindo $E^{(\omega_1)}$ na equação (24) pela expressão (22), utilizando $d/\delta t = i\omega$ e $k_1^2 = \omega_1^2 \mu\epsilon_1$, podemos rescrever (24) :

$$\frac{dE_1}{dz} = -\frac{\sigma_1}{2} \sqrt{\frac{\mu}{\epsilon_1}} E_1 - \frac{i\omega_1}{2} \sqrt{\frac{\mu}{\epsilon_1}} dE_3 E_2^* e^{-i(k_3 - k_2 - k_1)z} \quad (25)$$

e de modo similar obtemos:

$$\frac{dE_2^*}{dz} = -\frac{\sigma_2}{2} \sqrt{\frac{\mu}{\epsilon_2}} E_2^* - \frac{i\omega_2}{2} \sqrt{\frac{\mu}{\epsilon_2}} dE_1 E_3^* e^{-i(k_1 - k_3 + k_2)z} \quad (26)$$

$$\frac{dE_3}{dz} = -\frac{\sigma_3}{2} \sqrt{\frac{\mu}{\epsilon_3}} E_3 - \frac{i\omega_3}{2} \sqrt{\frac{\mu}{\epsilon_3}} dE_1 E_2 e^{-i(k_1+k_2-k_3)z} \quad (27)$$

Estas são as equações básicas que descrevem as interações paramétricas não lineares.

3. "PHASE-MATCHING" NA GERAÇÃO DE SEGUNDO HARMÔNICO (SHG)

Na SHG dois dos três campos apresentam a mesma frequência. Portanto podemos colocar $\omega_1 = \omega_2 = \omega$ e $\omega_3 = 2\omega$. Desprezando-se a absorção ($\sigma_{1,2,3} = 0$), temos (ver equação (27)):

$$\frac{dE^{(2\omega)}}{dz} = -\frac{i\omega}{2} \sqrt{\frac{\mu}{\epsilon}} d[E^{(\omega)}]^2 e^{i(\Delta k)z} \quad (28)$$

onde

$$\Delta k \equiv k_3 - 2k_1 = k^{(2\omega)} - 2k^{(\omega)} \quad (29)$$

Para simplificar, assumiremos que a perda da onda fundamental (frequência ω) devido à conversão de sua potência em segundo harmônico, seja desprezível. Deste modo, $E^{(\omega)}$ é constante e pode-se integrar o campo de saída ao longo do cristal com comprimento L :

$$E^{(2\omega)}(L) = -i\omega \sqrt{\frac{\mu}{\epsilon}} d [E^{(\omega)}]^2 \frac{e^{i\Delta k L} - 1}{i\Delta k L} \quad (30)$$

A intensidade de saída é proporcional a:

$$E^{(2\omega)}(L) E^{(2\omega)*}(L) = \left(\frac{\mu}{\epsilon} \right) \frac{\omega^2 d^2}{n^2} [E^{(\omega)}]^4 L^2 \frac{\sin^2(\Delta k L / 2)}{(\Delta k L / 2)^2} \quad (31)$$

onde utilizamos $\epsilon/\epsilon_0 = n^2$. De acordo com (31) a eficiência de conversão é máxima quando $\Delta k = 0$. Esta condição é chamada de *phase - matching*. Devido a relação $k^{(\omega)} = \omega \sqrt{\mu \epsilon_0 n^{(\omega)}}$, a condição $\Delta k = 0$ é válida quando:

$$n^{2\omega} = n^\omega \quad (32)$$

Os índices de refração na frequência fundamental e na frequência de segundo harmônico tem que ser igual ao longo de uma dada direção de propagação dentro do cristal.

Em cristais uniaxiais, um feixe polarizado ao longo do eixo z do cristal (o eixo de maior simetria), é chamado de feixe extraordinário e o índice de refração associado a este eixo é denominado n_e . Similarmente, um feixe com polarização perpendicular ao eixo z é chamado de ordinário e o índice de refração associado é n_o . Em materiais dielétricos normais o índice de refração de ω e 2ω é diferente, para a mesma polarização, como verifica-se na tabela 3. Portanto, é possível satisfazer a equação (32) somente, quando o feixe fundamental e o feixe de segundo harmônico forem de polarizações diferentes: um ordinário outro extraordinário. O índice de refração do feixe extraordinário, que inclui um ângulo Φ entre sua direção de propagação e o eixo z, é dado por (ver figura 4 para um cristal uniaxial positivo: $n_e^\omega > n_o^\omega$):

$$\frac{1}{n_e^2(\Phi)} = \frac{\cos^2\Phi}{n_0^2} + \frac{\sin^2\Phi}{n_e^2} \quad (33)$$

Se $n_e^{2\omega} < n_o^\omega$, deve existir um ângulo Θ tal que $n_e^{2\omega}(\Theta) = n_o^\omega$. Utilizando equação (33) e o fato que KDP é um cristal uniaxial negativo ($n_e^\omega < n_o^\omega$), têm-se (ver figura 5):

$$\frac{1}{(n_o^\omega)^2} = \frac{\cos^2\Theta}{(n_0^{2\omega})^2} + \frac{\sin^2\Theta}{(n_e^{2\omega})^2} \quad (34)$$

ou, resolvendo para Θ :

tipo1

$$\boxed{\sin^2\Theta = \frac{(n_o^\omega)^{-2} - (n_0^{2\omega})^{-2}}{(n_e^{2\omega})^{-2} - (n_0^{2\omega})^{-2}}} \quad (35)$$

Exemplo: Para duplicar a frequência de um laser de rubi, o feixe fundamental dentro do cristal deve apresentar um ângulo de 51° (ver tabela 3 e equação 35) com o eixo z e uma polarização ordinária.

O phase-matching com $n_e^{2\omega}(\Theta) = n_0^\omega$ é chamado de phase-matching tipo 1.

Como o feixe fundamental é ordinário ($E_z^\omega = 0$), a polarização de segundo harmônico é dada por (ver equação 11):

$$P_z^{(2\omega)} = d_{36}^{(2\omega)} E_x^{(\omega)} E_y^{(\omega)}$$

Portanto, P_z é máximo quando $E_x^\omega = E_y^\omega = E^\omega/\sqrt{2}$, o que ocorre quando o ângulo entre o feixe fundamental e o eixo cristalino x é de 45° .

No phase-matching tipo 2, os componentes E_x e E_y do feixe fundamental pertencem a polarizações diferentes. Neste caso, um dos dois componentes é um feixe extraordinário. A condição de phase-matching ($\Delta k=0$) é dada por:

$$n_{ie}^{2\omega}(\Theta) = \frac{1}{2} [n_{jo}^\omega + n_{ke}^\omega] \quad (36)$$

onde i,j,k são os eixos do elipsóide de índice (fig. 4). O ângulo de phase-matching tipo 2 calcula-se introduzindo a expressão (34) na equação (36):

tipo2

$$\left[\frac{\cos^2\Theta}{(n_0^{2\omega})^2} + \frac{\sin^2\Theta}{(n_e^{2\omega})^2} \right]^{-\frac{1}{2}} = \frac{1}{2} \left\{ n_0^\omega + \left[\frac{\cos^2\Theta}{(n_0^\omega)^2} + \frac{\sin^2\Theta}{(n_e^\omega)^2} \right]^{-\frac{1}{2}} \right\} \quad (37)$$

4. EXERCÍCIOS

1. Porque aumenta a eficiência de SHG quando o ângulo de phase-matching se aproxima de 90° ? (Duas respostas)
2. É possível gerar segundo harmônico com um feixe não polarizado?
3. Calcule os ângulos de phase-matching tipo 1 e tipo 2 para dobrar 1064nm (Nd:YAG) em KDP.
4. Use os resultados do exercício 3 para desenhar nas figura 6 e 7 as orientações cristalográficas para phase-matching tipo 1 e tipo 2, respectivamente.

TABLE I. The Form of the Nonlinear Optical Tensor d_{ijkl}

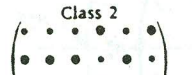
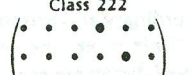
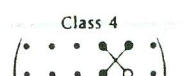
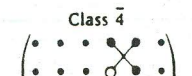
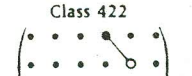
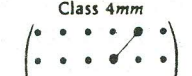
Key to Notation	
•	Zero modulus
●	Nonzero modulus
—●—	Equal moduli
—○—	Moduli numerically equal, but opposite in sign
<hr/>	
	Centrosymmetrical Classes (all moduli vanish)
<hr/>	
	Noncentrosymmetrical Classes
	Triclinic
	Class 1
	
<hr/>	
	Monoclinic
2 x ₂ (standard orientation)	Class 2 
m ⊥ x ₂ (standard orientation)	Class m 
<hr/>	
	Orthorhombic
	Class 222 
	Class mm2 
<hr/>	
	Tetragonal
	Class 4 
	Class 4̄ 
<hr/>	
	Class 422 
	Class 4mm 

TABLE 2. The Nonlinear Optical Coefficients of a Number of Crystals^a

Crystal	$d_{ijk}^{(2w)}$ in units of $\frac{1}{\text{Å}} \times 10^{-22}$ MKS	δ_{ijk} in units of 10^9
LiIO ₃	$d_{15} = 4.4$	
NH ₄ H ₂ PO ₄	$d_{16} = 0.45$	3.2
(ADP)	$d_{14} = 0.50 \pm 0.02$	3.2
KH ₂ PO ₄	$d_{36} = 0.45 \pm 0.03$	3.4
(KDP)	$d_{14} = 0.35$	3.4
KD ₂ PO ₄	$d_{36} = 0.42 \pm 0.02$	3.1
	$d_{14} = 0.42 \pm 0.02$	3.1
KH ₂ ASO ₄	$d_{36} = 0.48 \pm 0.03$	2.9
	$d_{14} = 0.51 \pm 0.03$	3.1
Quartz	$d_{11} = 0.37 \pm 0.02$	2.3
AlPO ₄	$d_{11} = 0.38 \pm 0.03$	2.5
ZnO	$d_{33} = 6.5 \pm 0.2$	4.0
	$d_{11} = 1.95 \pm 0.2$	1.3
CdS	$d_{15} = 2.1 \pm 0.2$	1.5
	$d_{11} = 28.6 \pm 2$	3.8
	$d_{31} = 30 \pm 10$	1.9
	$d_{36} = 33$	2.3
GaP	$d_{14} = 80 \pm 14$	1.5
GaAs	$d_{14} = 72$	2.0
BaTiO ₃	$d_{11} = 6.4 \pm 0.5$	1.3
	$d_{31} = 18 \pm 2$	3.1
	$d_{15} = 17 \pm 2$	2.9
LiNbO ₃	$d_{15} = 4.4$	1.4
	$d_{22} = 2.3 \pm 1.0$	0.66
Te	$d_{11} = 517$	0.8
Se	$d_{11} = 130 \pm 30$	5.0
Ba ₂ NaNb ₂ O ₁₅	$d_{33} = 10.4 \pm 0.7$	
	$d_{32} = 7.4 \pm 0.7$	
Ag ₃ AsS ₃ (proustite)	$d_{22} = 22.5$	
CdS ₂	$d_{31} = 13.5$	
CdGeAs ₂	$d_{31} = 22.5 \pm 3$	
AgGaSe ₂	$d_{36} = 363 \pm 70$	
AgSbS ₃	$d_{16} = 27 \pm 3$	
ZnS	$d_{36} = 9.5$	
	$d_{36} = 13$	

* Some authors define the nonlinear coefficient d by $P = \epsilon_0 dE^2$ rather than by the relation $P = dE^2$ used here.

Tetragonal (continued)

$$2\|x_1\| \begin{pmatrix} \bullet & \bullet & \bullet & \bullet & \bullet \\ \bullet & \bullet & \bullet & \bullet & \bullet \\ \bullet & \bullet & \bullet & \bullet & \bullet \end{pmatrix} \quad (2)$$

Cubic

$$\begin{pmatrix} & \cdot & \cdot & \cdot & \cdot & \cdot & \cdot \\ \cdot & & & & & & \cdot \\ & \cdot & \cdot & \cdot & \cdot & \cdot & \cdot \\ \cdot & \cdot & \cdot & \cdot & \cdot & \cdot & \cdot \end{pmatrix} (0)$$

All moduli vanish

Classes $\bar{4}3m$ and 23

Trigonal

The diagram shows a network structure labeled "Class 3". It consists of four nodes arranged in a horizontal row. The first node has two outgoing connections: one to the second node and one to the fourth node. The second node has two outgoing connections: one to the first node and one to the third node. The third node has two outgoing connections: one to the second node and one to the fourth node. The fourth node has two outgoing connections: one to the first node and one to the third node. This creates a symmetric, looped connection pattern between the four nodes.

Class 32 (2)

Hexagona

Class 6

(4)

same as class 4

Class 6mm

(3)

same as class 4mm.

$$\left(\begin{array}{ccccc} \bullet & \bullet & \bullet & \bullet & \bullet \\ \bullet & & & & \bullet \\ \bullet & \bullet & \bullet & \bullet & \bullet \\ \bullet & & & & \bullet \\ \bullet & & & & \bullet \end{array} \right)_{(3)} \qquad \left(\begin{array}{ccccc} \bullet & & & \bullet & \bullet \\ \bullet & \bullet & \bullet & \bullet & \bullet \\ \bullet & & & & \bullet \\ \bullet & \bullet & \bullet & \bullet & \bullet \\ \bullet & & & & \bullet \end{array} \right)_{(5)}$$

Tetragonal

$$\begin{array}{c} \text{Class 4} \\ \left(\begin{array}{cccccc} \bullet & \bullet & \bullet & \bullet & \bullet & \bullet \\ & \bullet & \bullet & \bullet & \bullet & \bullet \\ & & \bullet & \bullet & \bullet & \bullet \\ & & & \bullet & \bullet & \bullet \\ & & & & \bullet & \bullet \\ & & & & & \bullet \end{array} \right) (4) \end{array} \quad \begin{array}{c} \text{Class } \bar{4} \\ \left(\begin{array}{cccccc} \bullet & \bullet & \bullet & \bullet & \bullet & \bullet \\ & \bullet & \bullet & \bullet & \bullet & \bullet \\ & & \bullet & \bullet & \bullet & \bullet \\ & & & \bullet & \bullet & \bullet \\ & & & & \bullet & \bullet \\ & & & & & \bullet \end{array} \right) (4) \end{array}$$

Class 422

TABLE 3. Index of Refraction Dispersion Data of KH_2PO_4

<i>Wavelength, μm</i>	<i>n_o (ordinary ray)</i>	<i>Index</i> <i>n_e (extraordinary ray)</i>
0.2000	1.622630	1.563913
0.3000	1.545570	1.498153
0.4000	1.524481	1.480244
0.5000	1.514928	1.472486
0.6000	1.509274	1.468267
0.7000	1.505235	1.465601
0.8000	1.501924	1.463708
0.9000	1.498930	1.462234
1.0000	1.496044	1.460993
1.1000	1.493147	1.459884
1.2000	1.490169	1.458845
1.3000	1.487064	1.457838
1.4000	1.483803	1.456838
1.5000	1.480363	1.455829
1.6000	1.476729	1.454797
1.7000	1.472890	1.453735
1.8000	1.468834	1.452636
1.9000	1.464555	1.451495
2.0000	1.460044	1.450308

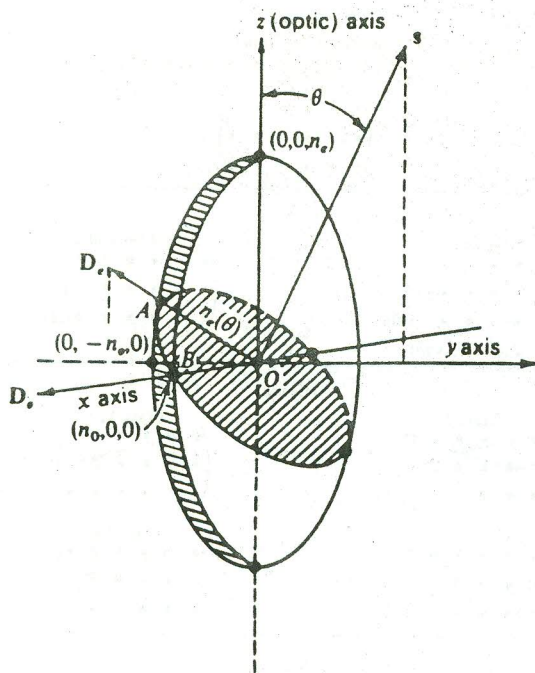


FIGURE 4 The construction for finding the indices of refraction and the allowed polarization directions for a given direction of propagation s . The figure shown is for a uniaxial crystal with $n_x = n_y = n_o$, $n_t = n_r$.

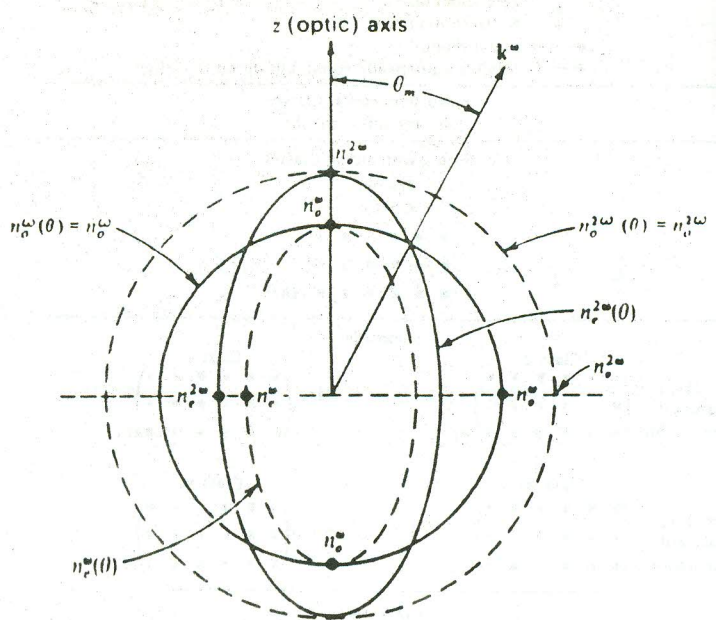


FIGURE 5 Normal (Index) surfaces for the ordinary and extraordinary rays in a negative ($n_r < n_o$) uniaxial crystal. If $n_r^{2\omega} < n_g$, the condition $n_r^{2\omega}(\theta) = n_g$ is satisfied at $\theta = \theta_m$. The eccentricities shown are exaggerated.

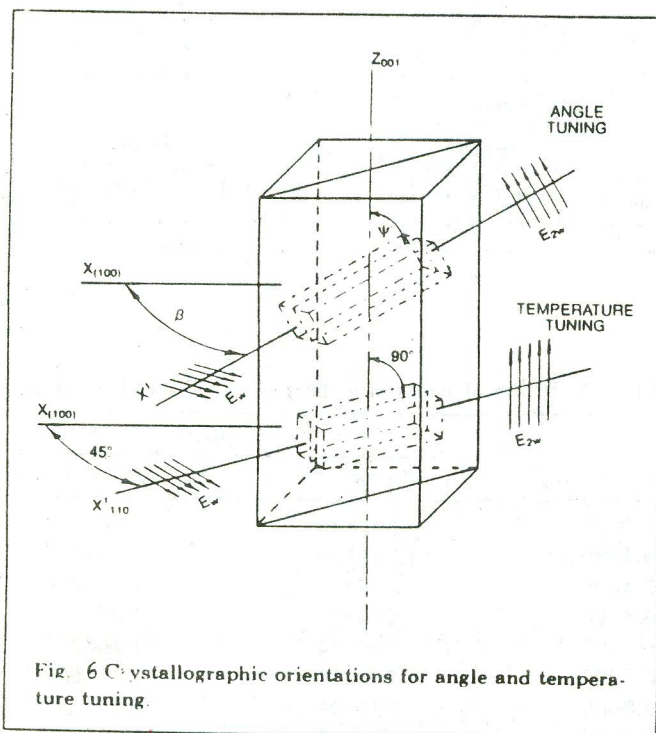


Fig. 6 Crystallographic orientations for angle and temperature tuning

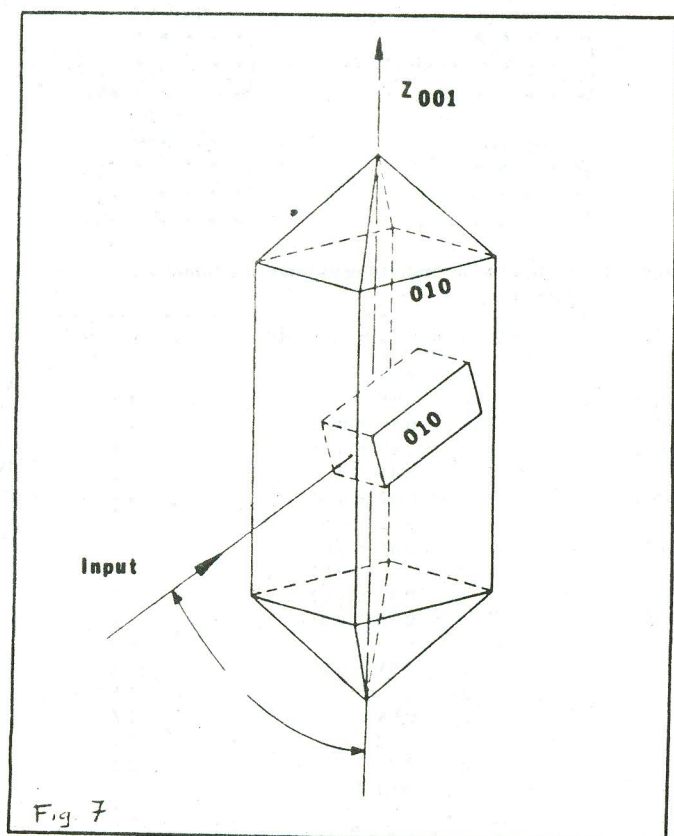


Fig. 7